

高耐力既製コンクリート杭用パイルキャップ工法の開発

Development of Construction Method for High Shear Resistance Pile Cap for Precast Concrete Pile

郡司 康浩*

新井 寿昭*

Yasuhiro Gunji

Toshiaki Arai

竹内 章博**

Akihiro Takeuchi

要 約

本工法は、既製コンクリート杭用パイルキャップのせん断設計をより合理的に行うための工法である。本工法では、従来から既製コンクリート杭用パイルキャップのせん断耐力要素として考えられてきたコンクリートに加え、パイルキャップ内に配置されている鉄筋を適切に考慮することにより、既製コンクリート杭用パイルキャップのせん断耐力を合理的に確保することが可能となる。

本報では、工法概要を述べるとともに、工法開発にあたり実施した構造性能確認実験の概要と実験結果について報告する。

目 次

- § 1. はじめに
- § 2. 工法概要
- § 3. 構造性能確認実験の概要
- § 4. 実験結果と考察
- § 5. おわりに

§ 1. はじめに

近年、既製コンクリート杭（以降、既製杭）の高支持力化が進み、柱1本に対して杭1本で設計するケースが多くなっている。それに伴い、杭1本あたりに作用する水平力も従来に比べて増加傾向であり、杭と上部構造をつなぐ部材であるパイルキャップにも、水平力（せん断力）に対するより大きな耐力が求められている。

既製杭用パイルキャップのせん断設計について、例えば、鉄筋コンクリート基礎構造部材の耐震設計指針（案）・同解説¹⁾では、原則としてコンクリートのみでせん断耐力を確保する考え方を採用しており（一部、終局時に軸力の効果を考慮する方法の記載もある）、パイルキャップ内に配筋されている鉄筋の効果等を無視している。

そこで、本開発では既製杭用パイルキャップのせん断設計をより合理的に行うため、従来から耐力要素として考えられてきたコンクリートに加えて、パイルキャップ内の鉄筋を適切に考慮できる工法を開発した。

本報では、工法概要を述べるとともに、工法開発にあたり実施した構造性能確認実験の概要²⁾と実験結果の一部³⁾について報告する。

§ 2. 工法概要

本工法の概要を図-1に示す。本工法は、図-1に示すように、定着筋と埋込みを併用して既製杭をパイルキャップに定着する方式を採用する場合の、パイルキャップのせん断耐力を評価する工法である。既製杭を埋込んだ部分の周囲には、補強鉄筋を配置しており、これらの鉄筋の耐力もせん断耐力に見込むことにより、従来よりもパイルキャップのせん断耐力を合理的に確保することが可能となる。

一方、定着筋と埋込みを併用して既製杭をパイルキャップに定着する方法は、実務上有用な方法であると考えられているが、パイルキャップのせん断に関する実験例が少なく、抵抗機構等に不明確な点が多い。そこで、本工法の開発にあたり、構造性能確認実験を実施し、定着筋と埋込みを併用して既製杭を定着するパイルキャップのせん断抵抗機構および、パイルキャップ内に配置されている補強鉄筋の効果を把握することとした。

なお、既製杭をパイルキャップに定着する方法としては、他に定着筋のみでパイルキャップに定着する方法¹⁾（A法）や、杭頭部をパイルキャップに1D（D：杭径）程度埋込んで定着する方法¹⁾（B法）、半剛接合を用いて接合する方法^{例え4),5)}などがあるが、それらの定着方法を採用する場合は本工法の適用範囲外である。

* 技術研究所建築技術グループ

** 建築設計部構造一課（現：技術研究所）

§3. 構造性能確認実験の概要

3-1 試験体概要

定着筋と埋込みを併用して既製杭を定着するパイルキャップのせん断抵抗機構および、パイルキャップ内の補強鉄筋の効果を確認するため、構造性能確認実験を実施した。

試験体の概要を図-2および表-1に示す。本工法の開発にあたっては、パラメータの異なる6体の試験体を用いて実験を実施した。試験体は、杭材およびパイルキャップ部分を天地逆転した形状としている。主なパラメータは、パイルキャップの平面寸法、パイルキャップコンクリートの設計基準強度 (Fc)、基礎梁の有無、杭体のパイルキャップへの埋込み長、圧縮軸力の有無である。

杭材は、共通で杭径 400 mm の外殻鋼管付きコンクリート杭 (SC 杭) を用いた。パイルキャップの平面寸法は、1 辺の長さを一般的と考えられる杭径の 2.5 倍 (1 辺が 1,000 mm) とした試験体の他に、杭径の 2.0 倍 (1 辺が 800 mm) に縮小した試験体も用いた。平面寸法を杭径の 2.0 倍とした試験体については、パイルキャップの平面寸法の合理化を目指した条件設定である。

杭体のパイルキャップへの埋込み長は、杭径の 0.5 倍 (200 mm) を基本とし、深く埋込む状況も想定して杭径の 1.0 倍 (400 mm) の試験体も計画した。杭頭部には、全試験体に定着筋として 4-D22 (SD345) を配置した。

No.6 試験体に作用させる圧縮軸力については、実験装置の能力等も勘案して、杭径 400 mm の地盤から決まる長期許容支持力相当 (先端支持力係数 $\alpha 250$, 先端 N 値 60) の 700 kN を導入した。

パイルキャップ内の配筋について、縁空き部 (図-2 中の赤枠部分) には、鉄筋比 Pw (鉄筋の断面積を縁空き部の面積で除した値) で概ね同量 (Pw = 約 0.5%) となるように補強筋 (以降、横補強筋と称す) を配置した。また、パイルキャップ上面 (実施工では、下面) に近い位置には、縁空き部を貫通するように補強筋 (以降、U 字補強筋と称する) として 1-D13 (SD295 A) を配置した。杭天端面より下側 (実施工では、上部躯体側) には、ベース筋と称する鉄筋を井形状に配置した。パイルキャップのコンクリート強度は Fc24, Fc45 とした。試験体に用いた材料の試験結果を表-2 に示す。

3-2 加力および計測の概要

加力フレームの概要を図-3 に示す。実験は、パイルキャップのせん断モードが卓越するように、不静定梁形式⁴⁾ で実施した。ジャッキ 1 (パイルキャップ上面から 800 mm) で荷重を与え、ジャッキ 2 (パイルキャップ上面から 1,700 mm) で水平変位がゼロとなるように制御を行った。

加力は、杭頭せん断力を漸増させる正負交番の荷重制御方式で実施した。杭頭せん断力は、ジャッキ 1 の荷重

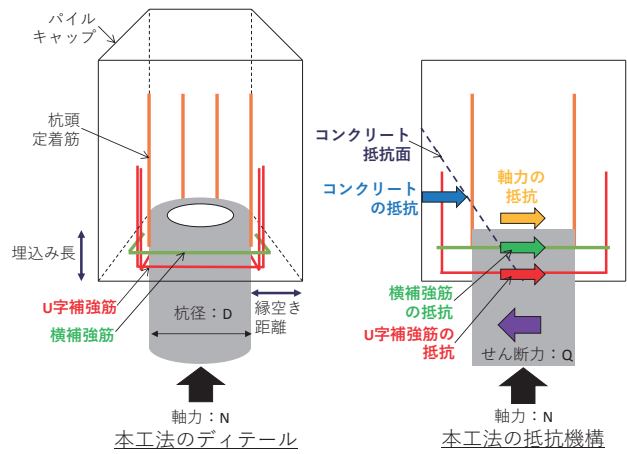


図-1 本工法の概要

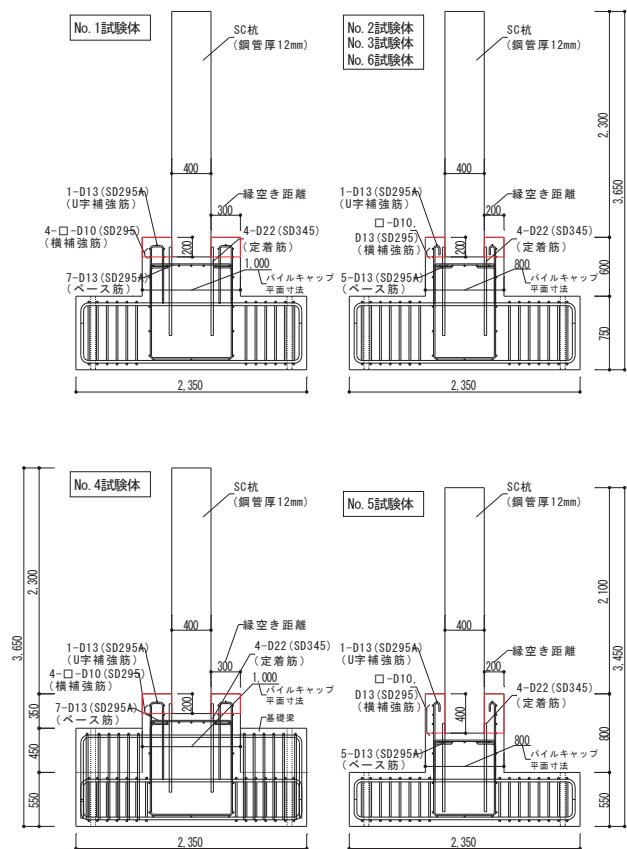


図-2 試験体の概要

表-1 試験体のパラメータ

試験体	No. 1	No. 2	No. 3	No. 4	No. 5	No. 6
杭径D (mm)	φ 400					
平面寸法 (mm)	1000	800	800	1000	800	800
	(2.5D)	(2.0D)	(2.0D)	(2.5D)	(2.0D)	(2.0D)
埋込み長 (mm)	200	200	200	200	400	200
	(0.5D)	(0.5D)	(0.5D)	(0.5D)	(1.0D)	(0.5D)
Fc (N/mm ²)	24	24	45	24	24	24
その他	-	-	-	基礎梁有	-	N=700kN

からジャッキ 2 の荷重を差し引いて算定した。なお、実験中はカウンターウェイトを用いて、ジャッキや加力治

4-2 ひび割れ性状

No.1 試験体および No.2 試験体のひび割れ性状を比較して図-8 に示す。図-8 には、両試験体ともに(1)パイルキャップ上面にひび割れが発生した状態、(2)ひび割れがパイルキャップ側面へ進展(杭埋込み深さ程度)した状態、(3)加力軸上にもひび割れが発生した状態、(4)本実験における最大杭頭せん断力時のひび割れ状態を示している。また、前述の各状態における杭頭せん断力の値および、加力方向を図-8 中に併記している。

ひび割れの特徴として、正加力時のひび割れであれば加力前面側となる N 側に、負加力時のひび割れであれば逆に S 側に集中して発生していた。

パイルキャップの平面寸法が 2.5 D の No.1 試験体のひび割れの進捗として、まず加力軸に直交するひび割れがパイルキャップ上面の杭端部に発生し、そのひび割れが上面端部へ進展する挙動を示した。その後、パイルキャップ側面(E 側, W 側)にひび割れが伸展し、側面では斜め下方向にひび割れが伸びるとともに、パイルキャップ上面の加力軸上にもひび割れが発生し、側面(S 側, N 側)まで進展する挙動を示した。

パイルキャップの平面寸法が 2.0 D の No.2 試験体においても、ひび割れの進展順序は No.1 試験体と概ね同様であった。これらより、パイルキャップの平面寸法の違いが、せん断系のひび割れ性状に与える影響が小さいことを確認できた。

図-8 中に併記した両試験体が概ね同様のひび割れ状態に至った際の杭頭せん断力は、総じて No.1 試験体よりも No.2 試験体の方が小さい傾向であった。また、本実験における最大杭頭せん断力時のひび割れ状態を見る

と、杭頭せん断力の値は大きく変わらないが、No.1 試験体よりも No.2 試験体のひび割れ本数が多い状態であった。

4-3 鉄筋のひずみ性状

(1) U 字補強筋

図-8 のひび割れ状態に対応する U 字補強筋のひず

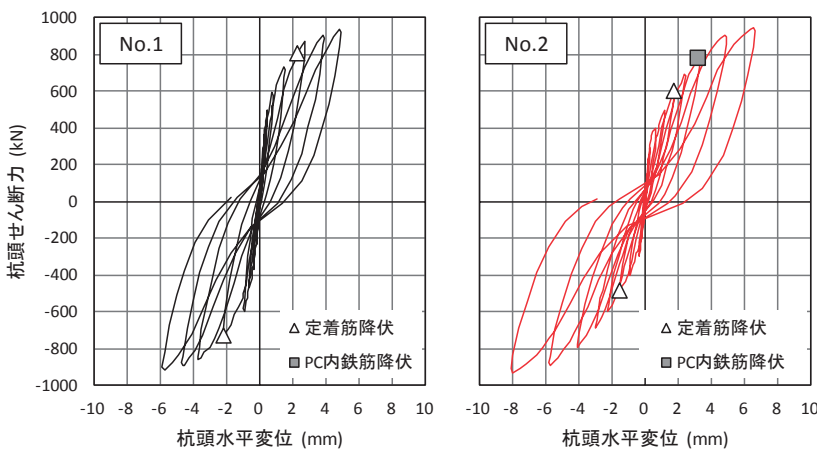


図-6 杭頭せん断力-杭頭水平変位関係

み状態(正加力時)を図-9 に示す。なお、図-9 の横軸の角度表示は、図-5 中に示す角度表示に対応している。

No.1, No.2 試験体ともに、加力軸に直交する 90° 位置(W 側)のひずみの値が最初に大きくなる挙動を示した。これは、図-8 のひび割れ状況からも分かるように、初期のひび割れが加力軸に直交するパイルキャップ上面に発生した事象と対応していると考えられる。その後、加力軸上である 180° 位置(N 側)のひずみの値も大きくなっているが、この事象も加力軸上にひび割れが発生したタイミングと挙動が対応している。

概ね同様のひび割れ状態で No.1 試験体と No.2 試験体を比較すると、No.1 試験体よりも No.2 試験体の方が総じてひずみの値が大きく、本実験時の最大杭頭せん断力時点において No.2 試験体の 90° (W 側) および 180° (N 側) 位置の U 字補強筋は、降伏状態に至っていた。

(2) 横補強筋

図-8 のひび割れ状態に対応する横補強筋のひずみ状態(正加力時)を図-10 に示す。なお、図-10 の横軸の角度表示は、図-5 中に示す角度表示に対応している。また、図-10 に示している値は、複数段配置されている横補強筋のうち、パイルキャップ上面に一番近い位置の

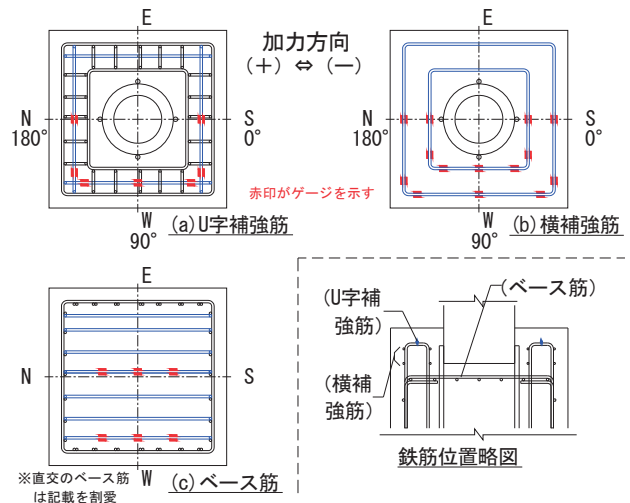


図-5 ひずみゲージの貼付位置 (No.1 試験体)

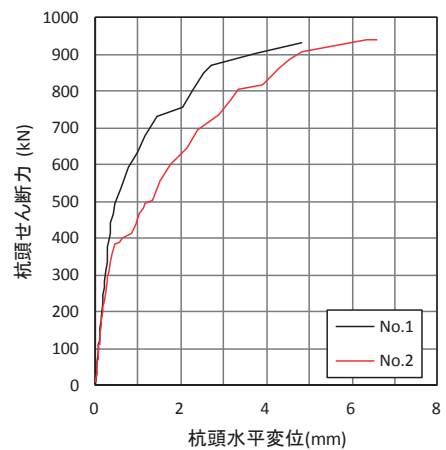


図-7 杭頭せん断力-杭頭水平変位関係 (包絡線)

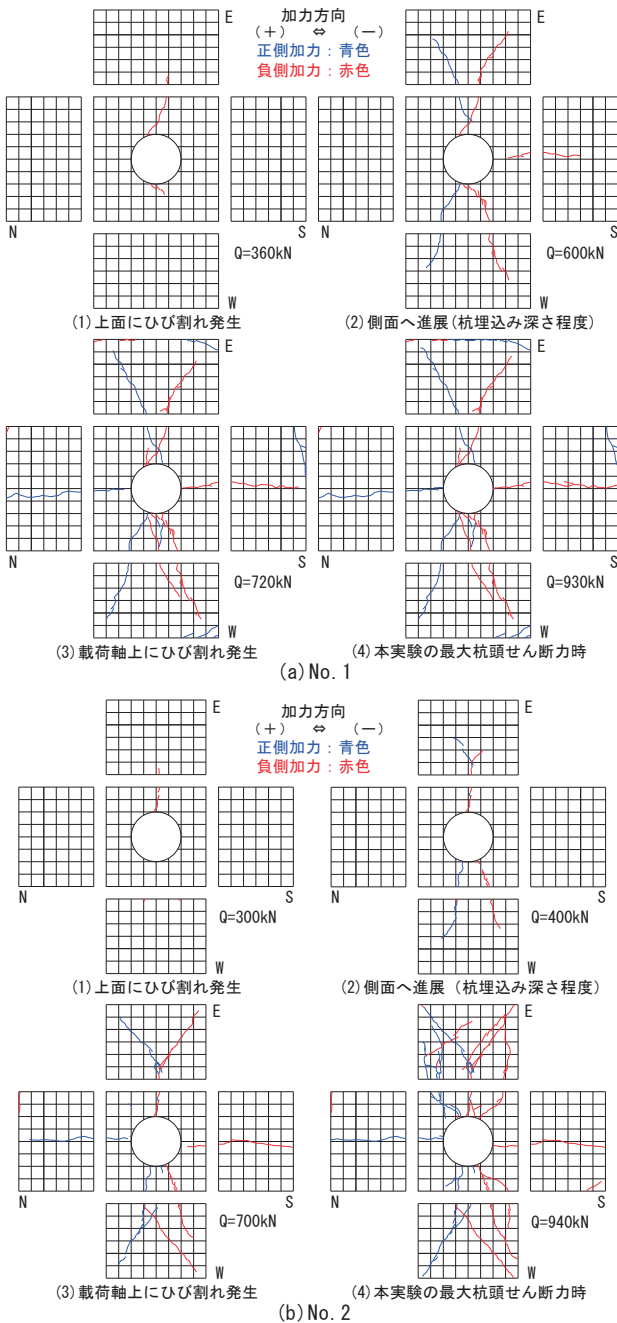
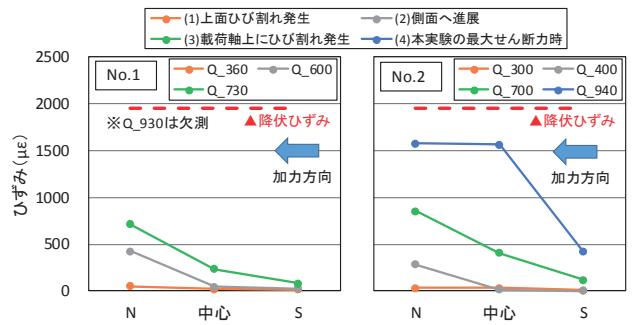
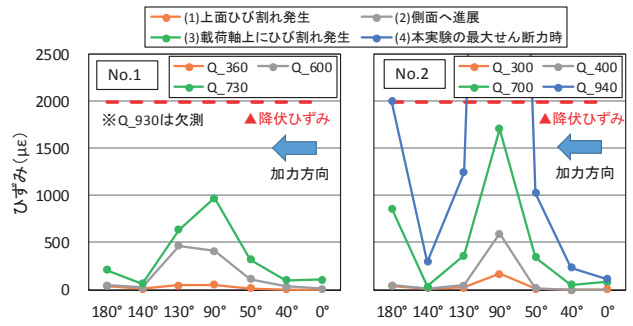
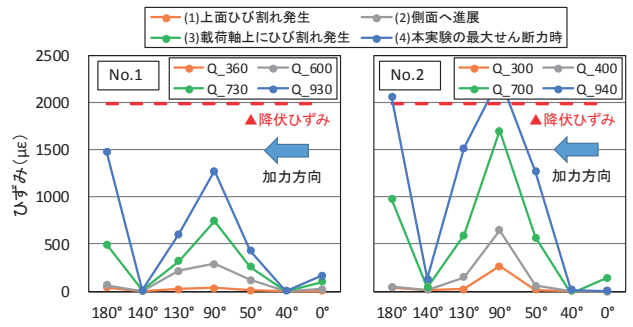


図-8 ひび割れ性状

横補強筋のひずみの値である。No.1 試験体については、同一深度に 2 重の横補強筋が配置されているが、図-10 に示しているひずみの値は、より杭に近い内側の横補強筋のものである。

No.1, No.2 試験体ともに、横補強筋のひずみの傾向は U 字補強筋と類似しており、加力軸に直交する 90° (W 側) 位置のひずみの値が最初に大きくなり、その後、加力軸上である 180° (N 側) 位置のひずみの値が大きくなる挙動であった。これらの挙動は、U 字補強筋でひずみの値が大きくなった理由と同様の影響によるものと考えられる。

概ね同様のひび割れ状態で No.1 試験体と No.2 試験体を比較すると、ひずみの値の大小関係も U 字補強筋と同様であり、本実験の最大杭頭せん断力時において No.2



試験体の 90° (W 側) および 180° (N 側) 位置の横補強筋は、降伏状態に至っていた。

(3) ベース筋

図-8 のひび割れ状態に対応するベース筋のひずみ状態 (正加力時) を図-11 に示す。なお、図-11 に示すひずみの値は、加力軸上のベース筋のものである (図-5 参照)。

ベース筋のひずみの傾向として、No.1, No.2 試験体ともに、加力前面側となる N 側のベース筋で、杭頭せん断力が大きくなるにつれて、ひずみの値が大きくなる傾向を示した。ベース筋のひずみの値は、本実験の最大杭頭せん断力時においても最大で約 1,500μ (No.2 試験体) であり、降伏状態までには至らなかった。

(4) 補強鉄筋の挙動まとめ

U 字補強筋および横補強筋の挙動について、図-6 の杭頭せん断力-杭頭水平変位関係も併せて考えると、パイルキャップにひび割れが発生し、U 字補強筋および横補強筋のひずみが大きくなった状態においても、杭頭せん断力の低下等は生じていない。このことから、本実験

において、ひび割れ発生前までコンクリートが負担していた応力を、ひび割れ発生後は主にU字補強筋および横補強筋で負担できていることを確認できたといえる。一方、ベース筋については、U字補強筋および横補強筋と比較してひずみの値も小さいことから、ひび割れ発生後の応力負担に対する寄与度は小さいと考えられる。

§5. おわりに

定着筋と埋込みを併用して既製杭を定着するパイルキャップのせん断抵抗機構および、パイルキャップ内の補強鉄筋の効果を確認するため、構造性能確認実験を実施した。

本報では、本実験の基本となる No.1 試験体と No.2 試験体の結果について報告した。本実験の範囲内における荷重変位関係は、パイルキャップの平面寸法の違いによらず概ね同様の挙動を示し、荷重が急減するような脆性的な挙動は生じなかった。パイルキャップのせん断系のひび割れについて、その特徴を把握し、進展については、パイルキャップの平面寸法の違いによる影響は小さいことを確認した。また、パイルキャップ内の補強鉄筋については、縁空き部に配置されるU字補強筋および横補強筋が、ひび割れ発生後に応力を負担しており、抵抗要素として有用であることを確認した。

参考文献

- 1) 日本建築学会：鉄筋コンクリート基礎構造部材の耐震設計指針（案）・同解説，2017.3
- 2) 郡司他：定着筋と埋込みを併用する既製コンクリート杭用パイルキャップの構造実験 その1 実験概要と荷重変位関係，日本建築学会大会学術講演梗概集（北陸），pp. 185-186, 2019. 9
- 3) 岩本他：定着筋と埋込みを併用する既製コンクリート杭用パイルキャップの構造実験 その2 パイルキャップおよび補強筋の挙動，日本建築学会大会学術講演梗概集（北陸），pp. 187-188, 2019. 9
- 4) 青島他：改良型簡易接合法を採用した既製コンクリート杭杭頭部の力学性状，日本建築学会構造系論文集，第 607 号，pp. 125-132, 2006. 9
- 5) 斎藤他：半固定杭頭接合法の開発 その1 一定圧縮軸力下の接合部回転性状，日本建築学会大会学術講演梗概集（関東），pp. 433-434, 2001. 9